

III-41 ケーン基礎の2次元耐震安定計算

本州四国連絡橋公团 正員 多田 浩彦
" " 山根 哲雄

1. はじめに

通常行われている構造基礎の耐震安定計算では、地盤を弾性ばねとみなした基礎をばねで支持させ、このばねによる抵抗力と外力を一次元的な変形条件を適合するよう解くという手法が用いられ、その結果について基礎の滑動、転倒、支持力等の安定の判定が行われている。これらの計算には未だ不確定な要素が多く含まれてあり、安定の判定基準の必ずしも明確とは云えないと思われる。

ここでは、ケーン基礎の耐震安定計算を地盤と基礎を2次元の構造体と仮定し、1) 線型弾性¹⁾ 2) 地盤の引張強度と圧縮強度の差異を考慮した場合²⁾ 3) 地盤と基礎の境界面における摩擦滑り、剝離現象を考慮した場合³⁾について有限要素法を適用して静的ではなく、これまで行われてきた慣用安定計算法と比較すると共に、橋梁基礎の安定性について考察してみようとした。有限要素法による計算手法については、それぞれ参考文献を参照されたい。

2. 計算法の概要

(1) 線型弾性解

線型弾性計算とは、地盤中に根入れされたケーン基礎および地盤を、剛性の異なる弾性体が連続した構造系とみなした線型計算したものである。

(2) 地盤の引張強度と圧縮強度の差異を考慮した解析 (no-tension 解)

地盤は一般に圧縮強度と引張強度に差異があり、圧縮力に比して引張力に対する抵抗力は小さい場合が多い。したがって解析は、地盤は圧縮主応力方向には弾性挙動し、引張主応力方向には引張力は伝達しないものと仮定し、線型弾性計算の結果生じた引張主応力を繰返し計算により再分配していくものである。

(3) 地盤と基礎の境界における摩擦滑り、剝離を考慮した解析

図-1 に示すように境界面をx軸に平行にとり、境界上の点を左右にさし分けて、それぞれに作用する力を $F_{ix}, F_{iy}, F_{jx}, F_{jy}$ とすると外荷重がない場合次の釣合式が成立つ。

$$F_{ix} + F_{jx} = 0, \quad F_{iy} + F_{jy} = 0$$

また、適合条件式は結合の性質に応じて以下のように仮定した。

i) 連続体結合の場合

$$\text{適合式 } \delta_{ix} = \delta_{jx}, \quad \delta_{iy} = \delta_{jy}$$

ここで、 $\delta_{ix}, \delta_{iy}, \delta_{jx}, \delta_{jy}$ は、それぞれ点*i*, *j*のx, y方向の変位

ii) 摩擦滑りの場合

i) (i) 実抵抗力が発生し、 $|F_{ix}| > C_0 + M_S |F_{iy}|$ のとき、摩擦滑りが発生する。

$$\text{適合式 } \delta_{ix} \neq \delta_{jx}, \quad \delta_{iy} = \delta_{jy}$$

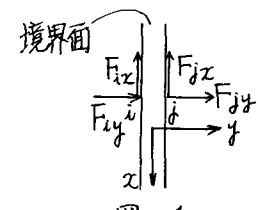


図-1

摩擦滑り発生後は、(j) 実に F_{ix} と反対方向に $\mu_s |F_{iy}|$ が伝達される。ここで $\mu_s(a)$ は静的摩擦係数、 C_0 は付着力である。

iii) 剥離の場合

(j) 実に剥離する方向に力が発生し、 $|F_{iy}| > C$ のとき剥離が発生する。

適合式 $\delta_{ix} \neq \delta_{jx}, \delta_{iy} \neq \delta_{jy}$

また、 $|F_{iy}| \leq C$ で、 $|F_{ix}| > C$ のとき単純滑りが生じるものとし、ii)と同じ適合式を用いる。

この場合、 $\mu_s |F_{iy}|$ は作用させない。ここで C では付着力である。

(4) 構造計算法

比較に用いた構造計算法は、日本道路協会「道路橋下部構造設計指針、ケーン基礎の設計篇」によると図-2に示すよう考え方である。

K_H : 水平方向地盤反力係数

K_V : 鉛直方向地盤反力係数

K_S : 水平方向せん断ばね係数

力の釣合

$$H = N_z + P$$

$$V = N_1$$

$$H \cdot h = P_1 \cdot \frac{l}{2} + P_2 \cdot \frac{l}{3} + N_1 \cdot x$$

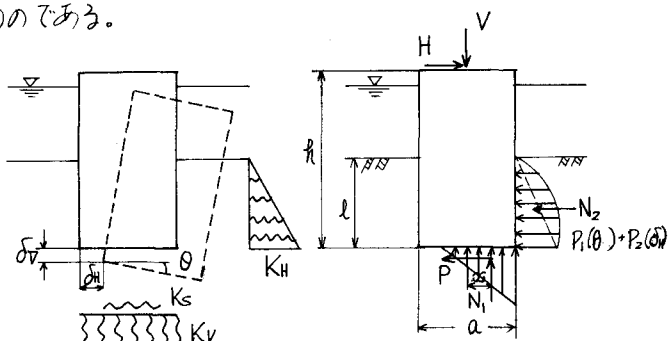


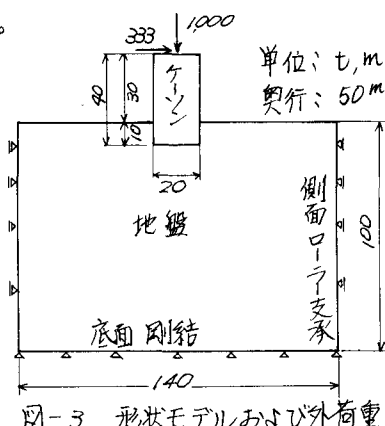
図-2 変位ばね係数図

荷重図

3. 数値計算および結果の考察

(1) 計算モデルの設定

計算の対象とする構造物は図-3 K元形形状寸法であり、外荷重としてケーン天端中央に鉛直力と水平力を作用させた。計算の規模および計算ケースを表-1に、計算に必要な諸常数を表-2に示す。



計算ケース	1 線型弾性 解	2 no-tension 解	3 滑りのみ考 慮	4 剥離のみ 考慮	5 滑り剥離 を同時に考慮
ネット数	290	260			290
節点数	183	149			183

表-1 計算の規模 計算ケース

	弾性係数 E t/m^2	不アーリング付着力 $C_0 = C$	摩擦係数 μ_s
ケーン	2,100,000	0.15	—
地盤	45,000	0.25	10

表-2 ケーンおよび地盤の計算諸定数

(2) 結果の考察

ケーン基礎天端中央における水平変位 δ_H 、鉛直変位 δ_V 、回転角 θ の比較を表-3に示す。

計算ケース	1	2	3	4	5	6
線型弾性解	no-tension 解	滑りのみ考慮	剥離のみ考慮	滑りと剥離を考慮	慣用計算法	
水平変位 δ_H (mm)	53.7	73.9	59.2	70.0	104.5	402.1
鉛直変位 δ_V (mm)	25.4	24.2	26.7	23.2	22.8	- 41.4
回転角 θ (deg)	1.299	1.683	1.360	1.613	2.487	10.61

表-3 天端中央における変位の比較

表より、水平変位、鉛直変位、回転角はともに慣用計算法が大きい値を示している。二次元解析では境界の変動の著しい滑り剥離を考慮した場合が、水平変位、回転角と大きい値を示している。水平変位、回転角は線型弾性解に比べおよそ 100 %近く増加しているが、その量は滑りと剥離を個々に考慮した量を加えあわせたものではなくて、滑り剥離現象が非線型的に相互作用し合っていることがわかる。no-tension 解の値と剥離のみ考慮した解とは値が近似している。

基礎周辺地盤および根入れされたケーン部分の変形状態、さらに地盤の反力分布とケーン面に直角方向、せん断方向について、図-4～図-7に示す。変形図では、境界が滑り失真を黒点印で、境界が剥離した失真を○印で示した。変形図および反力図は、慣用計算法、線型弾性解の結果もあわせて示し、比較している。ここで取りあげた荷重、地盤条件では基礎前面全域にゆるり滑りが生じ、基礎背面全域にゆるり剥離が生じている。滑り剥離を同時に考慮した場合では、さらに基礎底面の背面側

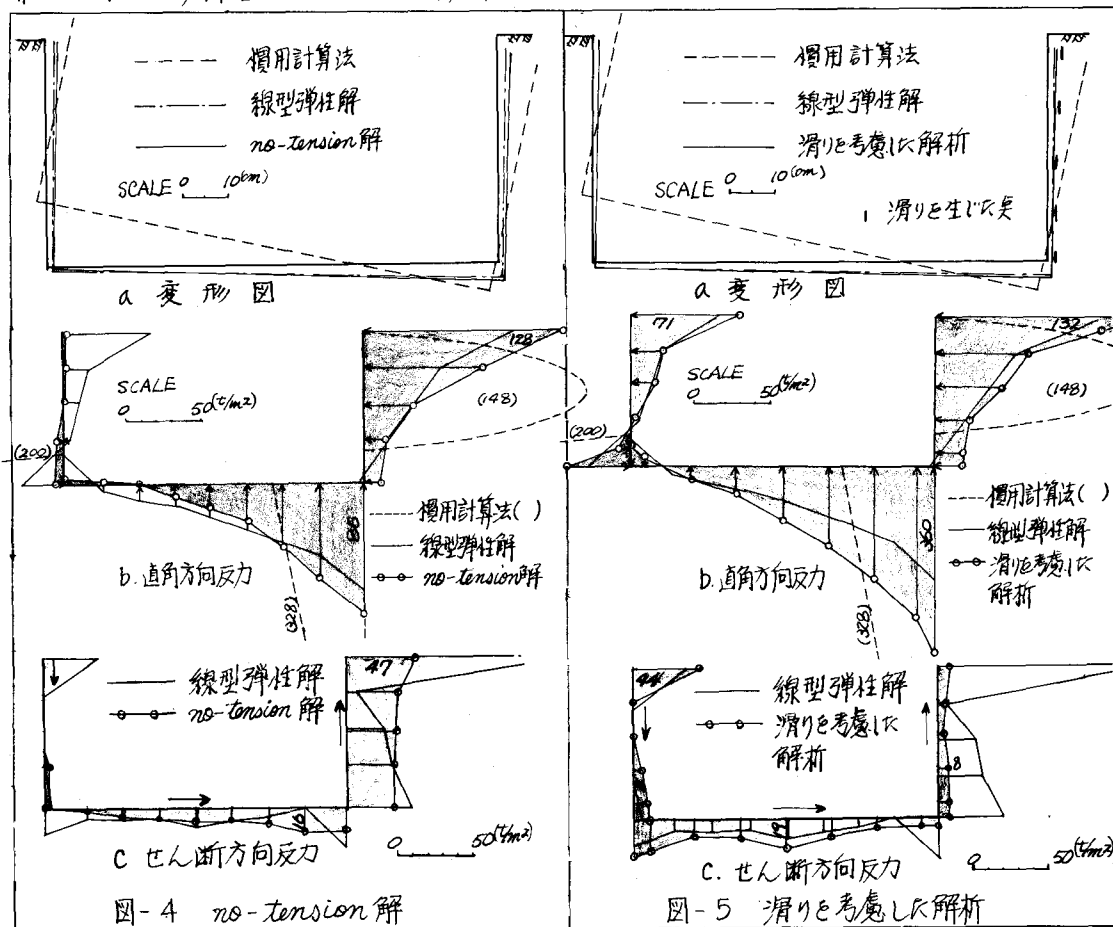


図-4 no-tension 解

図-5 滑りを考慮した解析

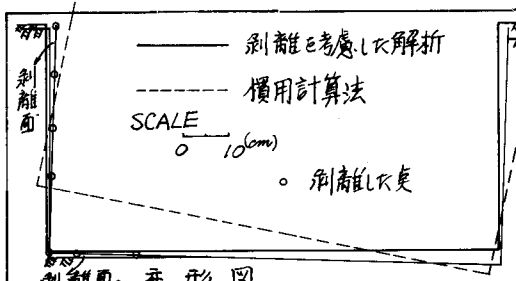
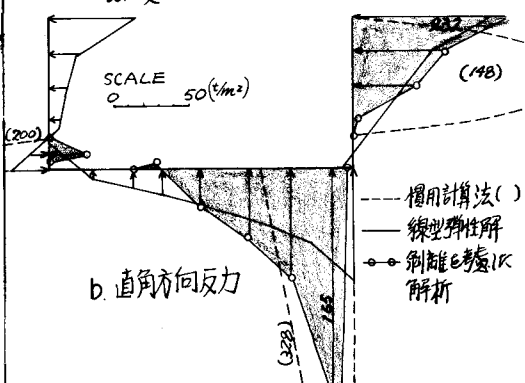
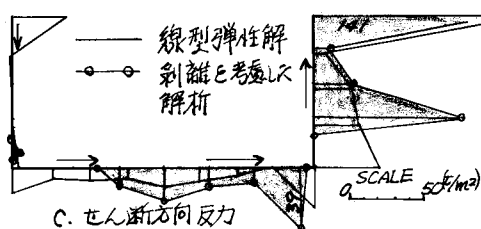


図-6 a. 変形図



b. 直角方向反力



c. セン断方向反力

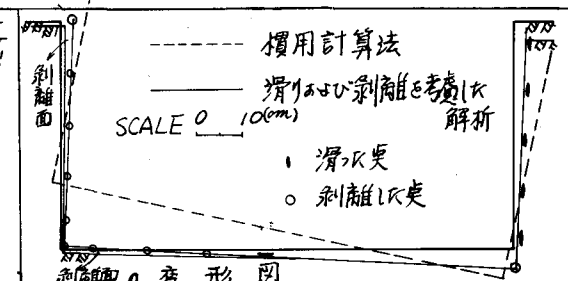
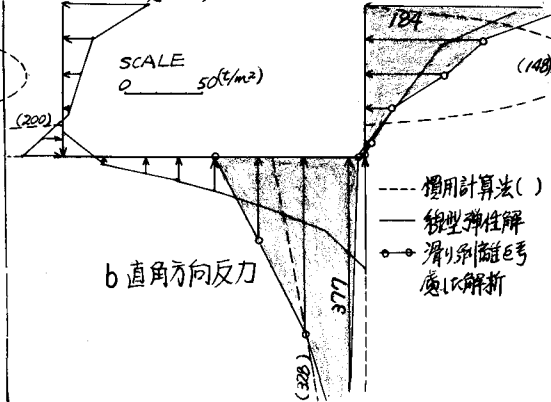
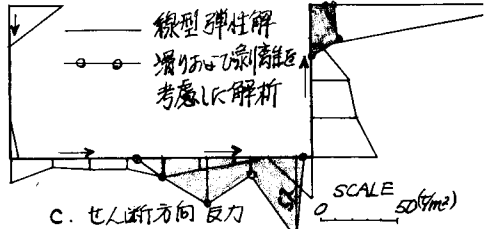


図-6 a. 変形図



b. 直角方向反力



c. セン断方向反力

一部K剥離が生じてくる。その結果図-7のようく基礎背面隅角にわざわざ上がり浮き上がりを生じ、水平方向変位、前面隅角部の沈下量がともに大きくなることが認められる。境界変動は主として側面で生じ、滑り現象は次下に影響し、剥離現象は回転に影響する傾向にあると思われる。

地盤反力分布についてみれば、2次元解析において非線型性が増すにつれ、底面に直角方向の反力は、隅角に偏心して三角形分布となる。側面に直角方向の反力は、2次元解析では側面地盤の弾性係数を一様としているから、変形の大きい地表面で最大、底面附近で0に近く逆三角形分布となる。慣用計算法ではばね係数の分布の仮定条件から、地表面で0、底面近くで最大となる二次の放物線分布となる。

4 結び

基礎の2次元耐震安定計算で地盤あるいは基礎と地盤の境界における非線型性を考慮しておけば以下結果、境界の滑り、剥離現象は基礎の安定に大きな影響を与えることが明らかとなり、地盤の拘束状態を想定するときこれらの条件に十分留意すべきものと思われる。参考文献：¹⁾ 長岡大山：“橋脚基礎周辺地盤の力学的特性”、第1回土質工学研究発表会、²⁾ 長岡大山：“ケーソン基礎周辺地盤の応力状態および変形挙動”、土木学会論文報告集188号、³⁾ 長岡大山：“ケーソン基礎周辺地盤の力学的挙動”、第1回土質学会、